

# Communications Numériques I

TNS4 - cours 3/5

Pierre COMON

## Résumé du cours 2

- Modulation numérique linéaire en bande de base

$$\tilde{x}(t) = \sum_k g_c(t - kT) x_c(u_k) + j g_s(t - kT) x_s(u_k)$$

Exemples: PAM, PSK, QAM

- Modulation à phase continue

Exemples: CPFSK, MSK

- Diagramme de transition

Grphe indiquant les transitions entre états

- Treillis

Déplieent du diagramme en fonction du temps

- Diagramme des phases

Décrit les trajectoires possibles de la phase en fonction du temps

## Distributions de probabilité (1/2)

### Mono-dimensionnel

- Fonction de répartition  $F_x(u) = Pr(X \leq u)$
- Densité de probabilité (d.d.p.)

$$p_x(u) = Pr(u \leq X \leq u + du) / du = \frac{dF_x(u)}{du}$$

- Normalisation  $F_x(\infty) = \int_{\mathbf{R}} p_x(u) du = 1$

### Multi-dimensionnel

- Fonction de répartition  $F_{x,y}(u, v) = Pr(X \leq u \cap Y \leq v)$
- d.d.p. conjointe  $p_{x,y}(u, v) = \frac{\partial^2 F_{x,y}(u,v)}{\partial u \partial v}$
- d.d.p. conditionnelle

$$F_{x/y}(u, v) = Pr(X \leq u \text{ sachant } Y \leq v) \leftrightarrow p_{x/y}(u, v) = \frac{\partial^2 F_{x/y}(u, v)}{\partial u \partial v}$$

- Règle de Bayes  $p_{x,y}(u, v) = p_{x/y}(u, v) p_y(v)$

## Distributions de probabilité (2/2)

### Propriétés

■ d.d.p. marginale  $p_x(\mathbf{u}) = \int p_{x,y}(\mathbf{u}, \mathbf{v}) d\mathbf{v}$

■ Changement de variable  $\mathbf{z} = g(\mathbf{y})$  bijectif

$$p_z(\mathbf{v}) d\mathbf{v} = p_y(\mathbf{u}) d\mathbf{u}; \mathbf{v} = g(\mathbf{u})$$

soit  $p_z(\mathbf{v}) = p_y(\mathbf{u}) \cdot |\det \mathbf{J}|$ .

■ v.a. complexe  $\mathbf{z} = \mathbf{x} + j\mathbf{y}$

$$p_z(\mathbf{w}) = p_{x,y}(\mathbf{u}, \mathbf{v})$$

■ Circularité au sens strict

$\mathbf{z}$  circulaire  $\Leftrightarrow \mathbf{z}$  et  $\mathbf{z} e^{j\theta}$  ont même d.d.p.

■ Circularité à l'ordre 2

$$E[\mathbf{z}] = \mathbf{0}, E[\mathbf{z} \mathbf{z}^T] = \mathbf{0}, \text{ mais } \mathbf{C}_z \stackrel{\text{def}}{=} E[\mathbf{z} \mathbf{z}^H] \neq \mathbf{0}$$

## Moments

- **Moyenne:**  $\mathbf{m}_x = \mathbb{E}[\mathbf{x}]$
- **Matrice de covariance:**  $\mathbf{C}_x = \mathbb{E}[\mathbf{x} \mathbf{x}^H]$
- $\mathcal{L}_K^2$ : **espace vectoriel** des v.a. de dim.  $K$  et de moyenne et variance finies
- **Matrice de covariance croisée:**  $\mathbf{C}_{xy} \stackrel{\text{def}}{=} \text{covar}[\mathbf{x}, \mathbf{y}] = \mathbb{E}[\mathbf{x} \mathbf{y}^H]$
- **Produit scalaire** entre 2 v.a. de  $\mathcal{L}_K^2$ :

$$\langle \mathbf{x}, \mathbf{y} \rangle = \mathbb{E}[(\mathbf{x} - \mathbf{m}_x)^H (\mathbf{y} - \mathbf{m}_y)] = \text{trace}\{\mathbf{C}_y \mathbf{x}\}$$

**Norme induite:**  $\|\mathbf{x}\|^2 = \text{trace}\{\mathbf{C}_x\} = \sum_i \text{var}\{x_i\}$

## Fonctions spéciales (1/3)

### ■ Fonction gamma:

$$\Gamma(x) \stackrel{\text{def}}{=} \int_0^{\infty} t^{x-1} e^{-t} dt, \quad x > 0$$

Propriétés:

- $\Gamma(x + 1) = x \Gamma(x)$
- $\Gamma(n + 1) = n!$ , si  $n \in \mathbb{N}$
- $\Gamma(\frac{1}{2}) = \sqrt{\pi}$ ,  $\Gamma(1) = 1$

### ■ Fonction gamma incomplète:

$$\gamma(\alpha; y) = \frac{1}{\Gamma(\alpha)} \int_0^y t^{\alpha-1} e^{-t} dt, \quad \alpha > 0$$

## Fonctions spéciales (2/3)

### ■ Fonction erreur:

$$Q(x) \stackrel{\text{def}}{=} \frac{1}{\sqrt{2\pi}} \int_x^\infty e^{-t^2/2} dt, \quad x \geq 0$$

**Propriété:**  $x \sim \mathcal{N}(m, \sigma^2) \Rightarrow F_x(u) = 1 - Q\left(\frac{u-m}{\sigma}\right)$

### Autres notations rencontrées:

$$\text{erfc}_*(x) = Q(x),$$

$$\text{erfc}(x) = 2Q(\sqrt{2}x) = \frac{2}{\sqrt{\pi}} \int_x^\infty e^{-t^2} dt,$$

$$\text{erf}(x) = \frac{2}{\sqrt{\pi}} \int_0^x e^{-t^2} dt = 1 - \text{erfc}(x)$$

### ■ Fonctions de Bessel de type I:

- $J_n(x) = \frac{1}{\pi} \int_0^\pi \cos(x \sin \theta - n \theta) d\theta, \quad x \geq 0, \quad n \geq 0$
- Sous forme de série  $J_n(x) = \sum_{k=0}^\infty (-1)^k \frac{(x/2)^{n+2k}}{k! \Gamma(n+k+1)}$
- Récurrence à trois termes:  $J_{n+1}(x) = \frac{2n}{x} J_n(x) - J_{n-1}(x)$
- Approximation: pour  $x \gg 1$ ,  $J_n(x) \approx \sqrt{\frac{2}{\pi x}} \cos\left(x - \frac{\pi}{4} - \frac{n\pi}{2}\right)$

## Fonctions spéciales (3/3)

### ■ Fonctions de Bessel modifiées de type I:

- $I_n(x) = \frac{1}{2\pi} \int_{-\pi}^{\pi} \exp(x \cos \theta) \cos(n\theta) d\theta, \quad x \geq 0, \quad n \geq 0$
- Sous forme de série  $I_n(x) = \sum_{k=0}^{\infty} \frac{(x/2)^{n+2k}}{k! \Gamma(n+k+1)}$
- Approximation: pour  $x \gg 1, I_0(x) \approx \frac{1}{\sqrt{2\pi x}} \exp(x)$   
pour  $x \approx 0, I_0(x) \approx e^{x^2/4}$

### ■ Fonction $Q$ de Marcum:

- Définition

$$Q_m(a, b) = \int_b^{\infty} x \left(\frac{x}{a}\right)^{m-1} \exp\left(-\frac{x^2 + a^2}{2}\right) I_{m-1}(ax) dx$$

- Intérêt: sert à exprimer la fonction de répartition d'une variable du Chi-deux non centrale.



## Exemples (1/4)

### Distributions gaussiennes

- $\mathbf{x} \sim \mathcal{N}_K(\mathbf{m}, \mathbf{C})$  (gaussienne réelle, dim.  $K$ , moy  $\mathbf{m}$ , covariance  $\mathbf{C}$ )

$$p_{\mathbf{x}}(\mathbf{u}) = \frac{1}{\sqrt{2\pi}^K \sqrt{\det \mathbf{C}_x}} \exp \left[ -\frac{1}{2} (\mathbf{x} - \mathbf{m}_x)^\top \mathbf{C}_x^{-1} (\mathbf{x} - \mathbf{m}_x) \right]$$

- $\mathbf{z} \sim \mathcal{N}_K^c(\mathbf{m}, \mathbf{C})$  (gaussienne complexe circulaire)

$$p_{\mathbf{z}}(\mathbf{w}) = \frac{1}{\pi^K \det \mathbf{C}_z} \exp \left[ -(\mathbf{z} - \mathbf{m}_z)^\text{H} \mathbf{C}_z^{-1} (\mathbf{z} - \mathbf{m}_z) \right]$$

- Conservation du caractère gaussien par transformation linéaire  
Si  $\mathbf{x} \sim \mathcal{N}(\mathbf{m}_x, \mathbf{C}_x)$ , alors  $\mathbf{A}\mathbf{x} \sim \mathcal{N}(\mathbf{A}\mathbf{m}_x, \mathbf{A}\mathbf{C}_x\mathbf{A}^\text{H})$

## Exemples (2/4)

### Fonctions quadratiques de gaussiennes univariées

■ *Chi-deux.*

$x_i \sim \mathcal{N}(0, 1)$  iid  $\Rightarrow Z \stackrel{\text{def}}{=} \sum_{i=1}^q x_i^2 \sim \chi_q^2$ , avec:

$$p_z(v) = \kappa(q) v^{q/2-1} e^{-v/2}, \quad v \geq 0$$

et

$$\kappa(q)^{-1} \stackrel{\text{def}}{=} 2^{q/2} \Gamma(q/2)$$

- La distribution est exponentielle quand  $q = 2$

$$p_z(u) = e^{-u}, \quad u \geq 0$$

## Exemples (3/4)

### Fonctions quadratiques de gaussiennes univariées (suite)

■ *Chi-deux noncentrale.*

$x_i \sim \mathcal{N}(m_i, 1)$  iid  $\Rightarrow Z \stackrel{\text{def}}{=} \sum_{i=1}^q x_i^2 \sim \chi_q^2(\lambda)$ ,  
avec paramètre de non centralité  $\lambda = \sum_i m_i^2$  :

$$p_z(\lambda; u) = \frac{1}{2} \left(\frac{u}{\lambda}\right)^{\frac{q-2}{4}} I_{\frac{q-2}{2}}(\sqrt{\lambda u}) e^{-\frac{u+\lambda}{2}}, \quad u > 0.$$

- Si  $q = 2$ , la variable  $r \stackrel{\text{def}}{=} \sigma\sqrt{z}$  suit une loi de Rice:

$$p_r(\lambda; v) = \frac{v}{\sigma^2} I_0\left(\frac{\sqrt{\lambda} v}{\sigma^2}\right) e^{-\frac{v^2+\lambda}{2\sigma^2}}$$

(on retrouve la loi de Rayleigh si  $\lambda = 0$ )

## Exemples (4/4)

### Fonctions quadratiques de gaussiennes multivariées

- *Wishart réelle.*

$x_i \sim \mathcal{N}_p(\mathbf{0}, \mathbf{C})$  iid  $\Rightarrow \mathbf{S} \stackrel{\text{def}}{=} \sum_{i=1}^q \mathbf{x}_i \mathbf{x}_i^\top \sim \mathcal{W}_p(\mathbf{C}, q)$ , avec:

$$p_{\mathbf{S}}(\mathbf{A}) = \kappa(\mathbf{C}, q, p) \det \mathbf{A}^{(q-p-1)/2} \exp\left[-\frac{1}{2} \text{trace}\{\mathbf{A} \mathbf{C}^{-1}\}\right]$$

et  $\kappa(\mathbf{C}, q, p)^{-1} = 2^{qp/2} \pi^{p(p-1)/4} \det \mathbf{C}^{q/2} \prod_{j=1}^p \Gamma\left(\frac{q+1-j}{2}\right)$

- *Wishart complexe circulaire.*

$x_i \sim \mathcal{N}_p^c(\mathbf{0}, \mathbf{H})$  iid  $\Rightarrow \mathbf{S} \stackrel{\text{def}}{=} \sum_{i=1}^q \mathbf{x}_i \mathbf{x}_i^H \sim \mathcal{W}_p^c(\mathbf{H}, q)$ , avec:

$$p_{\mathbf{S}}(\mathbf{A}) = \kappa^c(\mathbf{H}, q, p) \det \mathbf{A}^{q-p} \exp[-\text{trace}\{\mathbf{A} \mathbf{H}^{-1}\}]$$

et  $\kappa^c(\mathbf{H}, q, p)^{-1} = \pi^{p(p-1)/2} \det \mathbf{H}^q \prod_{j=1}^p \Gamma(q+1-j)$

### Loi de Rayleigh

- C'est la loi de la racine d'un  $\chi_q^2$

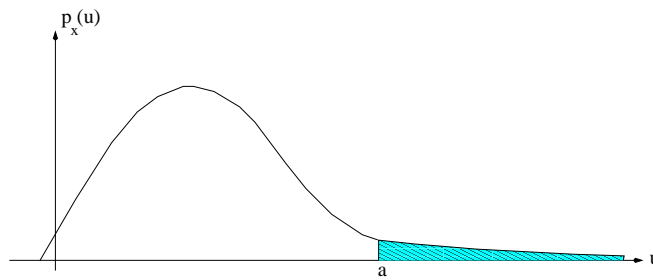
$$p_z(u) = \kappa(q) u^{q-1} e^{-u^2/2}, \quad u \geq 0$$

avec  $\kappa(q)^{-1} = 2^{q/2-1} \Gamma(q/2)$ .

## Fonctions de répartition (1/2)

$$F_z(a) = \int_{-\infty}^a p_z(u) du$$

Souvent pas d'expression analytique, mais calculables numériquement et tabulées.



Le calcul de la probabilité d'erreur fait souvent intervenir:

$$P_\varepsilon(a) = \int_a^\infty p_z(u) du = 1 - F_z(a)$$

## Fonctions de répartition (2/2)

- Gaussienne:  $x \sim \mathcal{N}(m, \sigma^2)$

$$1 - F_z(a) = Q\left(\frac{a - m}{\sigma}\right), \quad a \geq m$$

- Chi-deux:  $z \sim \chi_q^2$

$$F_z(a) = \gamma\left(\frac{q}{2}; \frac{a}{2}\right), \quad a \geq 0$$

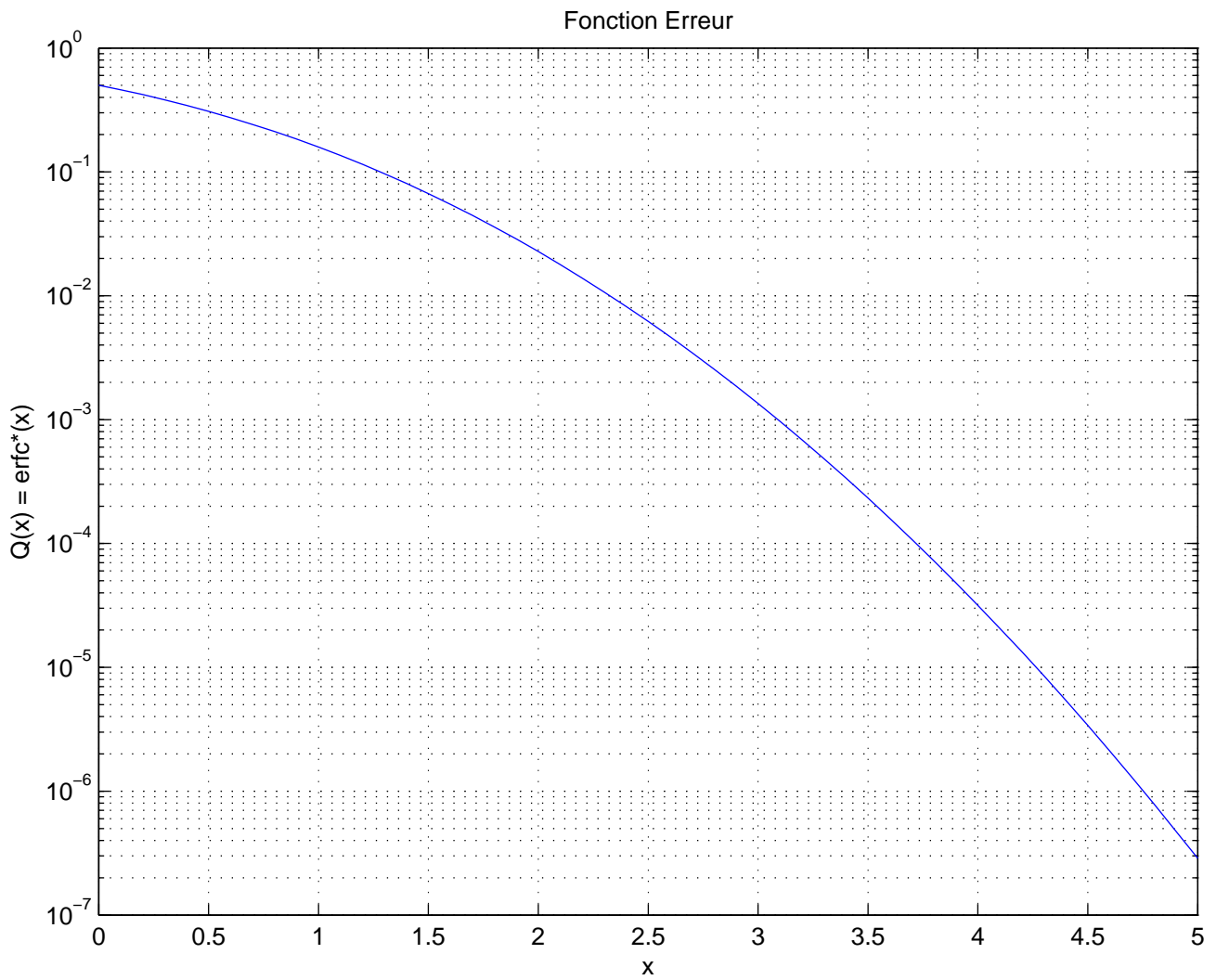
d'où la terminologie de “loi gamma” pour toute cette famille.

- Chi-deux non centrale:  $z \sim \chi_q'^2(\lambda)$

$$1 - F_z(u) = Q_{q/2}\left(\sqrt{\lambda}; \sqrt{u}\right)$$

où  $Q_m(a; b)$  est la fonction  $Q$  de Marcuuum.

# Fonction Erreur



## Bornes

- **Borne de l'Union**, évènements  $\{E_1, E_2, \dots, E_p\}$

$$\max_i Pr(E_i) \leq Pr(\cup_i E_i) \leq \sum_i Pr(E_i)$$

avec égalité si évènements disjoints

- **Borne de Chebyshev** (cas bilatère)

$$Pr(|X - m_x| \geq \delta) \leq \frac{\sigma_x^2}{\delta^2}$$

Preuve immédiate, majoration des queues par fonction quadratique

- **Chernoff** (cas unilatère)

$$Pr(X \geq \delta) \leq e^{-v\delta} E[e^{vX}]$$

où  $X$  centrée et  $v$  vérifie  $E[Xe^{vX}] = \delta E[e^{vX}]$



## Théorème de la Limite Centrale

### ■ Loi faible des grands nombre

Si  $x_i$  sont des v.a. décorréélées entre elles, de même moyenne  $m$  et de même variance  $\sigma^2$ , alors la v.a.  $x = \frac{1}{N} \sum_{i=1}^N x_i$  est de moyenne  $m$  et de variance  $\sigma^2/N$ , et vérifie

$$Pr(|x - m|^2 \geq \alpha) \leq \frac{\sigma^2}{N\alpha}.$$

Cela résulte de l'inégalité de Chebyshev.

**Terminologie:**  $x$  converge en loi vers le nombre déterministe  $m$

### ■ Loi forte des grands nombre

Si de plus les  $x_i$  sont indépendantes, alors la v.a.

$$y = \frac{1}{\sqrt{N}} \sum_{i=1}^N \frac{x_i - m}{\sigma}$$

converge **en loi** vers une v.a. gaussienne  $\mathcal{N}(0, 1)$  (c.à.d. cv simple des fonctions de répartition et des fonctions caractéristiques).

### ■ Résultats connexes

- une loi du  $\chi_q^2$  tend vers une loi gaussienne quand  $q \rightarrow \infty$ .
- les échantillons spectraux  $X(k/N)$  sont asymptotiquement gaussiens, réels pour  $k = 0$  ou  $k = 1/2$ , et complexes circulaires sinon.

## Processus stochastiques (1/2)

On note l'espace normé de dim. infinie des signaux aléatoires de variance finie:  $\mathcal{L}_\infty^2 \equiv \mathcal{L}^2$

### ■ Fonction d'intercorrélation

$$\mathbf{R}_{xy}(t, t') \stackrel{\text{def}}{=} \mathbb{E}[\mathbf{x}(t) \mathbf{y}(t')^H]$$

**Relation entrée-sortie** d'un filtre linéaire invariant dans le  $t$

$$\mathbf{y}(t) = \mathbf{h}(t) \star \mathbf{x}(t) \Rightarrow \mathbf{R}_{yy}(t, t') = \mathbf{h}(t) \star \mathbf{R}_{xx}(t, t') \star \mathbf{h}(t')^H$$

### ■ Stationnarité

- Au sens strict: la d.d.p. conjointe de  $\{x(t_1), x(t_2), \dots, x(t_n)\}$  est indépendante de  $t$ ,  $\forall n$
- À l'ordre 1: la moyenne  $m_x \stackrel{\text{def}}{=} \mathbb{E}[x(t)]$  ne dépend pas de  $t$
- À l'ordre 2 (dite *au sens large*): la fonction de corrélation  $\gamma_x(\tau) \stackrel{\text{def}}{=} \mathbb{E}[(x(t) - m_x)(x(t - \tau) - m_x)^*]$  ne dépend pas de  $t$

## Processus stochastiques (2/2)

### ■ Cyclo-stationnarité

- Exemple:  $x(t) = \sum_k a_k g(t - kT)$
- Au sens strict de période  $T$ : les propriétés statistiques de  $x(t)$  sont les mêmes que celles de  $x(t - kT)$ ,  $\forall k \in \mathbb{Z}$
- À l'ordre 1: la moyenne  $m_x(t) \stackrel{\text{def}}{=} E[x(t)]$  est périodique en  $t$
- À l'ordre 2: la fonction de corrélation

$$\gamma_x(\tau; t) \stackrel{\text{def}}{=} E[(x(t) - m_x(t))(x(t - \tau) - m_x(t - \tau))^*]$$

est périodique en  $t$

## Densité spectrale de puissance (d.s.p)

- Pour des processus stationnaires:

$$\Gamma_x(f) = \mathcal{F}[\gamma_x(\tau)](f)$$

- Pour des processus cyclo-stationnaires de période  $T$ :

$$\Gamma_x(f) = \mathcal{F}[\langle \gamma_x(\tau; t) \rangle_t](f)$$

où  $\langle \gamma_x(\tau; t) \rangle_t \stackrel{\text{def}}{=} \frac{1}{T} \int_{-T/2}^{T/2} \gamma_x(\tau; t) dt$  ne dépend que de  $\tau$

→ cela revient à calculer la d.s.p. du processus

$$z(t) \stackrel{\text{def}}{=} x(t + \phi)$$

où  $\phi$  est une v.a. uniformément répartie dans  $[0, T[$ .

- Relation entre bande de base et bande porteuse:

$\tilde{x}(t) = x_c(t) + j x_s(t)$ ;  $x(t) = \sqrt{2} \Re[\tilde{x}(t) \cdot e^{2j\pi f_o t}]$ . Alors:

$$S_x(f) = \frac{1}{2} [S_{\tilde{x}}(f - f_o) + S_{\tilde{x}}(f + f_o)]$$

## d.s.p. de signaux modulés linéairement

- $y(t) = \sum_k x_k g(t - kT)$  est cyclostationnaire si  $x_k$  est stationnaire.

$$\begin{aligned} R_y(t + \tau, t) &= \mathbb{E}\{y(t + \tau) y(t)^H\} \\ &= \sum_k \sum_\ell g(t + \tau - kT - \ell T) R_x(\ell) g(t - kT)^H \end{aligned}$$

Par TF sur  $\tau$ ,  $S_y(f; t) \stackrel{\text{def}}{=} \int e^{-2j\pi f\tau} R_y(t + \tau, t) d\tau$ :

$$\begin{aligned} S_y(f; t) &= \sum_k \sum_\ell \int e^{-2j\pi f\tau} g(t + \tau - kT - \ell T) d\tau R_x(\ell) g(t - kT)^H \\ &= G(f) \sum_k \sum_\ell e^{2j\pi f(t - kT - \ell T)} R_x(\ell) g(t - kT)^H \\ &= G(f) S_x(fT) \left[ \sum_k e^{-2j\pi f(t - kT)} g(t - kT) \right]^H \end{aligned}$$

- Pour le signal stationnarisé  $z(t)$ :

$$\begin{aligned} S_z(f) &= \frac{1}{T} \int_0^T S_y(f; t) dt \\ &= G(f) S_x(fT) \left[ \frac{1}{T} \sum_k \int_{kT}^{kT+T} e^{-2j\pi ft} g(t) dt \right]^H \\ &= G(f) S_x(fT) G(f)^H \end{aligned}$$

- NB:  $S_x(\lambda) \stackrel{\text{def}}{=} \sum_\ell e^{-2j\pi\ell\lambda} R_x(\ell)$  est périodique de période  $T$ .

## Karhunen-Loève (1/2)

Décomposition d'une fonction aléatoire centrée stationnaire de  $\mathcal{L}^2$  sur une base de fonctions déterministes de  $L^2$

- On veut décomposer:

$$x(t) = \sum_i A_i f_i(t), \quad A_i \in \mathcal{L}_1^2, \quad f_i(t) \in L^2$$

- Si  $f_i(t)$  orthonormées, alors

$$\Rightarrow A_i = \langle f_i(t), x(t) \rangle, \quad \text{et } \|x(t)\|^2 = \sum_i \text{var}\{A_i\}$$

- On cherche la base la plus pratique:  $A_i$  décorréées

$$E[A_i^* A_j] = \delta_{ij} \text{var}\{A_i\}$$

- Alors

$$\int \int f_i(u)^* \Gamma(u - v) f_j(v) du dv = \delta_{ij} \text{var}\{A_i\}$$

- On choisit les fonctions propres  $f_i(t)$  de l'opérateur intégral:

$$y(t) \longrightarrow \Omega[y](t) = \int \Gamma_x(u - v) y(v) dv$$

## Karhunen-Loève (2/2)

### Théorème de Fredholm

- $\Omega[f_i] = \lambda_i f_i, \quad \lambda_i = \text{var}\{A_i\}$
- $\{f_i\}$  orthonormées et  $\lambda_i$  réelles
- $\{\lambda_i\}$  au plus dénombrables
- Multiplicité de  $\lambda_i \neq 0$  est finie
- Suite  $\lambda_i$  peut être imposée décroissante
- Convergence uniforme des sommes partielles

$$\sum_{k=1}^K \lambda_k f_k(u) f_k(v)^* \xrightarrow{K \rightarrow \infty} \Gamma_x(u - v)$$

- Convergence en moyenne quadratique de la décomposition

$$\sum_{k=1}^K A_k f_k(t) \xrightarrow{K \rightarrow \infty} x(t)$$

## Exemple de KL: Fourier

Série de Fourier d'un processus stochastique stationnaire

- Sur  $I = [-T/2, T/2]$ , on choisit la base orthonormée:

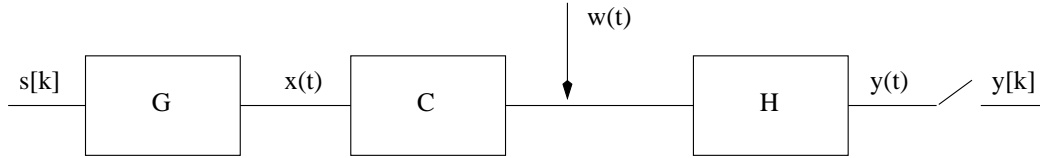
$$f_k(t) = \frac{1}{\sqrt{T}} e^{2j\pi k t/T}$$

- Alors  $x(t) = \sum_k A_k f_k(t) \equiv$  décomposition de KL
- $\|x(t)\|^2 = \sum_k \text{var}\{A_k\} \equiv$  c'est Parseval
- $A_k = \langle f_k(t), x(t) \rangle = \int_T x(t) e^{-2j\pi k t/T} dt$
- $E[A_i^* A_j] = \delta_{ij} \sigma_i^2 \equiv$  les échantillons spectraux sont décorrélés
- Si  $T \rightarrow \infty$ , alors les  $A_k$  sont asymptotiquement gaussiens complexes circulaires (limite centrale)
- Conséquence: les  $A_k$  sont asymptotiquement statistiquement indépendants



## Récepteur optimal: exemple du PAM2

Signal émis:  $x(t) = \sum_k g(t - kT) s(u_k)$   
 (par exemple,  $s(u_k) = A_k \sqrt{2} \cos 2\pi f_o t$ ).



$$\blacksquare y(t) = \underbrace{h \star c \star g}_{p} \star s(t) + h \star w(t)$$

■ Mais globalement, après échantillonnage:

$$y[k] = p(kT) \star s[u_k] + b[k]; \quad b[k] = h \star w[k]$$

■ Si la condition de Nyquist de non ISI est satisfaite:

$$y[k] = p(0) s[u_k] + b[k]$$

Donc probabilité d'erreur:

$$P_\varepsilon = \frac{1}{2} [F_b(-p(0)\sqrt{E}) + 1 - F_b(p(0)\sqrt{E})]$$

où  $E_s = \|s[u_k]\|^2$ .

- Si  $b \sim \mathcal{N}(0, \sigma^2)$ , alors  $P_\varepsilon = Q\left(\frac{p(0)\sqrt{E}}{\sigma}\right)$
- Le RSB est souvent exprimé en dB:

$$\rho_{dB} = 10 \log_{10} \frac{p(0)^2 E}{\sigma^2} = 20 \log_{10} \frac{p(0)\sqrt{E}}{\sigma}$$

- Si bruit blanc de dsp  $N_o/2$ , et  $H(f)$  basse-bas idéal de bande  $[-B, B]$ , alors  $\sigma^2 = N_o B$ .

## Filtre adapté et RSB

On poursuit l'exemple du PAM2

■ RSB:

$$\rho = \frac{\text{var}\{p(0) s\}}{\text{var}\{b\}} = \frac{E_s |p(0)|^2}{\int |H(f)|^2 S_w(f) df} = \frac{E_s \left| \int H(f) C(f) G(f) df \right|^2}{\|H(f) \sqrt{S_w(f)}\|^2}$$

Donc, pour la norme  $L^2$ :

$$\rho = E_s \frac{\left\langle \frac{C^* G^*}{\sqrt{S_w}}, H \sqrt{S_w} \right\rangle}{\|H \sqrt{S_w}\|^2}$$

Alors, d'après l'inégalité de Schwarz,  $\rho \leq E_s \|CG/\sqrt{S_w}\|^2$ , avec égalité ssi:

$$H(f) \sqrt{S_w(f)} = \frac{C(f)^* G(f)^*}{\sqrt{S_w(f)}}$$

Soit aussi

$$H(f) = \frac{C(f)^* G(f)^*}{S_w(f)}$$

C'est le **filtre adapté** au canal et au bruit.

■ Si le bruit est blanc, de dsp  $N_o/2$ , alors  $h(t) = \frac{2}{N_o} (c \star g)(-t)$

Le RSB optimal obtenu dans ce cas est:

$$\rho = E_s \frac{2}{N_o} \|C G\|^2$$